

# 剪断流下ごの底泥の沈降に関する研究

岩手大学 正○ 海田輝三  
学 柳橋巧  
正 大沼正郎

1.はじめに 剪断流下における微細粒子の沈降過程について、即に筆者らは実験及び理論的研究を行った。この結果、粘土成分のみを含むような試料の場合とシルトが主な成分の場合では沈降形態が異なり、前者の場合には粘性底層内にフロットが個々の単独の粒子にまぎて破壊されてしまうが、後者の場合にはほぼ単独の粒子まで破壊されると考えられる事、両者ともに剪断応力がある限界の剪断応力以上の場合、充分時間が経過しても沈降しない個々の粒子群が存在する事等を明らかにした。本研究では即に得られた沈降過程を表わす基礎式を示す。  
 ①シルトを主成分とする試料で、分散状態での粒度分布式 Rosin-Rammler 分布に従う場合(以下①の場合とする)  
 ②粘土成分のみを含む試料で、剪断応力が時間的に減少する場合(以下②の場合とする)につれて検討したものである。

## 2. 実験装置、方法、実験結果

実験装置としては円形回転水路を用いて行った。まず実験①の場合には、試料として地下鉄工事現場で採取した粘性土(比重 2.70、平均粒径 9.0 μm)を用いた。初期濃度を 2 kg/m<sup>3</sup> として充分混在後、所定の剪断応力をした。数種の剪断応力の下での SS の経時変化を図-1 に示す。SS は時間の経過とともに減少し、その減少速度も徐々に低下し最終的には各剪断応力に応じて一定値に落ちつける。図-1.

次に実験②の場合には試料として市販カオリ(ASP600、比重 2.66、平均粒径 6.6 μm)を用いた。初期濃度を 1.5 kg/m<sup>3</sup> として、図-2 に示した様に剪断応力を余弦曲線に従って変化させた場合の SS の経時変化を図-3 に示す。SS の減少過程は滑らかな曲線にほぼ沿うる勾配の緩やかな部分を有するのが特徴的である。

## 3. 解析手法及び結果

即に得た実験結果より、(1) 水路内の鉛直方向の濃度分布は算出されず、(2) 、たん水路床に沈降した粒子は再浮上されない、(3) 粘性底層の厚さは粒子(群)の径より 1 枚以上大きく、粘性底層内ごの粒子(群)の挙動が全体の現象を支配している。また、粘性底層内の粒子は慣力を受ける。以上の事が明かになれば、下。物理収支より、

$$\frac{\partial C(D,t)}{\partial t} + \frac{d\beta}{H} (D^2 - D_c D) \bar{C}(D,t) = 0 \quad (1)$$

が得られる。ここで、 $C(D,t) = \frac{1}{H} \int_0^H C(D,t) dZ$  、  $D_c$  は  $D > D_c$  ならばその粒子は沈降し、 $D < D_c$  ならまぎて沈降しない。即ち沈降に関する限界粒径を示してある。左第 2 図は沈降フラックスで、 $d$ : 係数、 $\beta = \frac{g \cdot \rho_f - \rho_s}{\mu g}$  である。 $D_c = 0$  ならば  $w = d\beta D^2 = 0$  あり、Stokes の沈降速度式となる。(1) 式を解くと

$$\bar{C}(D,t) = \bar{C}(D,0) \exp \left\{ - \frac{d\beta}{H} (D^2 - D_c D) t \right\} \text{ 但し } D > D_c \quad (2)$$

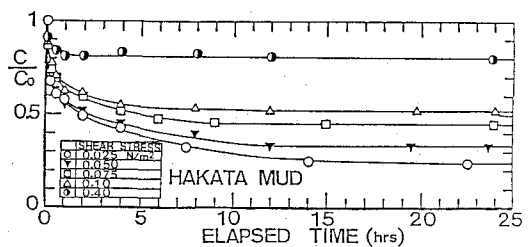


図-1. SS の経時変化(実験)

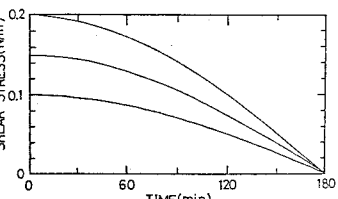


図-2 底面剪断応力

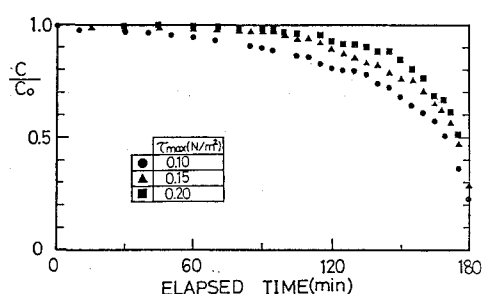


図-3 SS の経時変化(実験)

$$C(D, t) = \text{const} \quad \text{但し } D \leq D_c \quad (3) \quad \text{である。全体の粒度分布}$$

は粒径に間接して積分する。

$$C(t) = \int_0^D C(D, t) dD + \int_{D_c}^\infty C(D, t) dD = C_0 + \int_{D_c}^\infty C(D, t) dD \quad (4)$$

である。①の場合、粒度分布内での  $\tau$  が破壊され、その粒度分布は原元の分散をもつて粒度分布と近似できる。粒度分布型として本研究で用いた粒度式 Rosin-Rammler 分布は従うる換算式である。 $R-R$  分布とは通過率  $P$  は  $P = 1 - \exp(-bD^n)$   $(5)$  である。

$n = 2$ ,  $b, n$  は定数である。⑤式を变形後、両辺の対数を2回とり、

$$\log \{\log(\frac{1}{1-P})\} = n \log D + \log b + \log(\log e) \quad (6) \quad \text{である。}$$

$\log D = \log \{\log(\frac{1}{1-P})\}$  の関係を  $\tau = 10^{-12}$  とした時の図-4 であり、両者の関係はほぼ直線となり、粒度分布は  $R-R$  分布と近似でき、 $n=1$ ,  $b=798.4$  が得られる。従って(6)式は

$$C(t)/C_0 = \{1 - \exp(-798.4 D)\} + 798.4 \int_{D_c}^D \exp[-798.4 D + \frac{d\theta}{H}(D^2 - D_c^2)] dD \quad (7)$$

である。 $\beta = 9256 \text{ g/cm}^3$  とし、 $\alpha$  の値を変え、実験結果と

合う様に  $\alpha$  の値を決める  $\alpha = 0.65$  となる。 $= \alpha D$  による計算結果を図-5 に示す。これは球形粒子の沈降速度に対する粘土粒子の沈降速度の比を示している。McNown は円板面状沈降方向に対して垂直の時  $\alpha = 0.65$ 、平行の時  $\alpha = 0.51$  を与えている。本研究での試料状態ではある事を考慮すれば  $\alpha = 0.65$  が充分合理的な値である。従って、一定剪断応力下での沈降過程は式(7)で表現できる。

次に②の場合  $\tau = 10^{-12}$  は、フロットで粘性底層内での完全には元の粒子 ( $=$  破壊されず)、また、フロット後から沈降速度を表示し得ない。従って(6)式で  $\frac{d\theta}{H}(D^2 - D_c^2) = W$  と積分すれば、

$$C/C_0 = C_0/(C_0 + (1 - C_0) \exp(-W/H t)) \quad (8) \quad \text{である。}$$

式(8)を用いて、一定剪断応力の下で得られた結果から剪断応力が時間的に変化する場合に適用できるか検討してみる。種々の剪断応力が置かれ実験より、 $C/C_0 = \frac{T - T_d}{T_{05} - T_d}$  (图-6) における粒子 (群) が沈降する最大の剪断応力を  $\tau$ 、 $T_d = 0.025 \text{ N/m}^2$  である。 $T_{05} = 0.5 \text{ N/m}^2$

$(= T_0 \text{ 時の剪断応力})$  との関係は图-6 に示す様に、初期正規分布で表され、平均 0.91、寸法評価偏差  $\sigma/2\bar{x} = 0.08$  である。 $W$  も実験より  $W (\text{cm/s}) = 6.22 \times 10^{-4} (\frac{T}{T_{05}} - 1.5)^2 + 0.0007$  (9)

とした。計算結果を图-7 に示す。経過時間が 130~160 分程度の時に計算値、実験値ともに勾配が緩やかな部分を有しており、定性的には計算値は現象を良く表わしていると言える。しかし後半部分では計算値の方が実験値よりも小さくなっている。これは実験では徐々に剪断応力が小さくなるため、最初から同一の剪断応力の下で行なわれた場合に較べ、各時間でのフロットの形成が少しづつ進みるのである。

4. おわりに ①の場合  $D_c$  と剪断応力との関係をまとめた事、②の場合(4)式の理論的説明が今後の研究課題である。

<参考文献> 1) Kusuda, T. et al. Deposition Process of Fine Sediments. Wat. Sci. Tech. Vol. 14, pp. 175-189

2) McNown, J.S. Particles in Slow Motion, La Houille Blanche Vol. 6, pp. 701-722, 1951 3) 藤井, 長谷川, 沈降流下における複数種懸濁物質の濃度減少について. 第3回年譲 II-370. 1952.

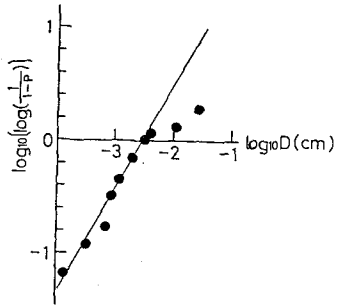


図-4  $\log D = \log \log(\frac{1}{1-P})$  の関係

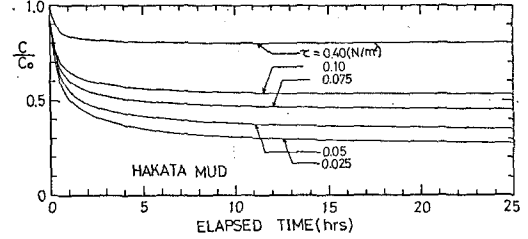


図-5 SS の経時変化(計算)

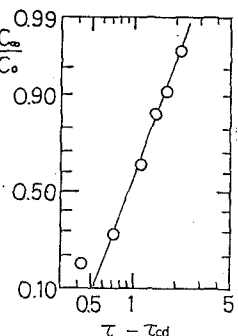


図-6  $\tau = C_0$  の関係

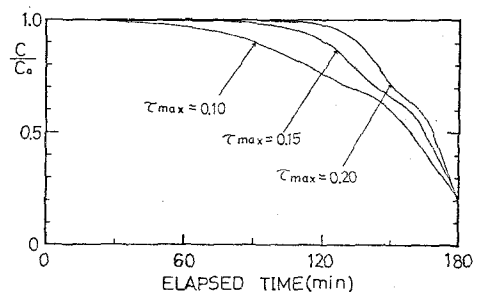


図-7 SS の経時変化(計算)